

红外光谱减光技术在 FT-IR 中的应用

荆煦瑛 张明杰 欧阳天美

(南开大学元素有机化学研究所)

摘要——本文报道了红外光谱减光技术在 FT-IR 光谱中消除大气吸收影响的实验结果，并将这一结果与纵标扩大法实验结果进行比较和讨论。指出，在低能通量的红外光谱测量中，减光法比纵标扩大法有着明显的优越性。

一、引言

低能通量红外光谱测量问题，一向为人们所重视，为了获得低透过率物质的良好光谱，在传统的色散型红外分光光度计发展的早期，便采用了减光技术，以后并被广泛采用。实验表明，采用减光技术，可使光谱的表观透过率范围放大。它不但可以用于定性测量，而且也可用于定量测量^[1]。此外，为了测量低透率样品的红外光谱，长时期以来，人们也在寻求简单有效的纵标扩大技术，但在传统的实验技术条件下，这一方法始终未获得满意结果^[2]。

随着电子计算机技术的迅速发展，高度计算机化的 FT-IR 光谱仪达到了很高的灵敏度，有着良好的纵标扩大功能和基线校正功能，它为低透过率样品的测量提供了方便^[3]，但是这种仪器都是单光束的，如何消除大气吸收的影响始终是一个令人关注的问题，特别对于像 Nicolet 5 DX 这类简易型 FT-IR 光谱仪，这一问题显得更加突出。在实验中，我们借助于减光技术，在小样品及低透过率样品的红外光谱测量中，均获得较好的效果。

二、实验结果

实验采用 Nicolet 5 DX 型 FT-IR 光谱仪，波数范围为 $4600\sim400\text{ cm}^{-1}$ ，带有基线校正、纵标及横标扩大等功能。实验采用的样品是聚苯乙烯薄膜，面积为 $1.5\times15\text{ mm}^2$ 。红外光束的截面积约为 $14\times16\text{ mm}^2$ （实验观测值）。本文中所有的光谱均为 10 次扫描所得，未采用平滑技术。

实验结果如下：

1. 低能通量的红外光谱。系来自面积为 $1.5\times15\text{ mm}^2$ 的聚苯乙烯薄膜。光谱的基线透过率低于 14%，见图 1。

2. 采用减光技术扩大图 1 的表观光谱透过率范围，所测量结果见图 2。减光器的光孔

本文 1984 年 5 月 12 日收到。

大小凭经验选择。

3. 采用纵标扩大功能提高图 1 的光谱质量, 实绘结果见图 3。

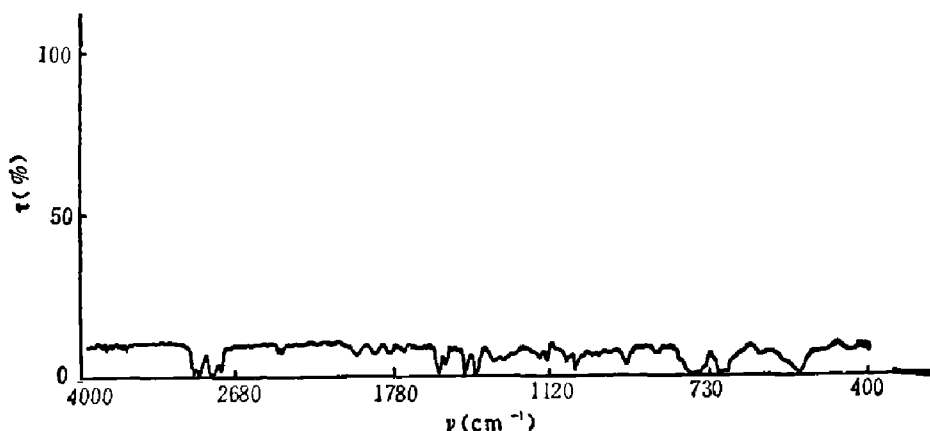


图 1 面积为 $1.5 \times 15 \text{ mm}^2$ 的聚苯乙烯薄膜的红外光谱

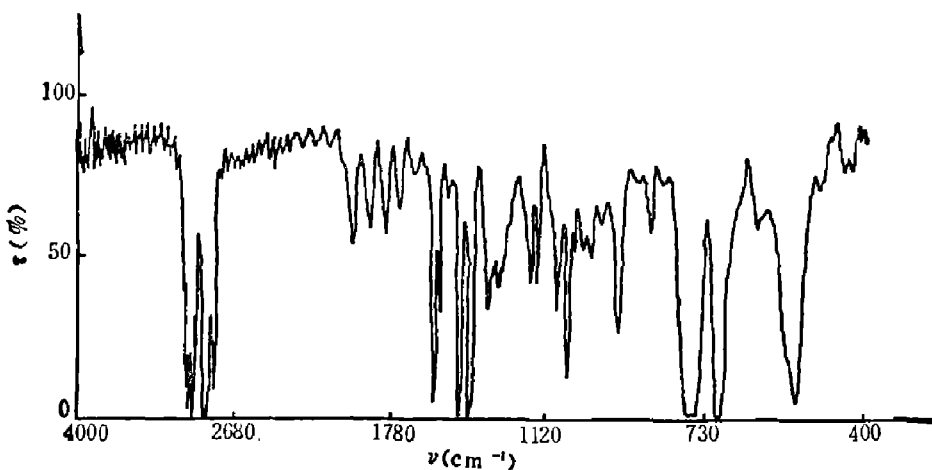


图 2 采用减光法改善后的 $1.5 \times 15 \text{ mm}^2$ 聚苯乙烯薄膜的红外光谱

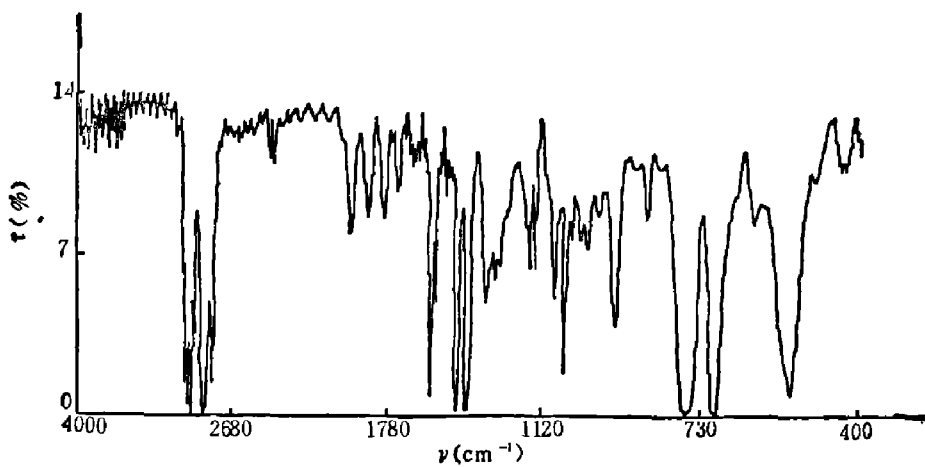


图 3 采用纵标扩大改善后的 $1.5 \times 15 \text{ mm}^2$ 聚苯乙烯薄膜的红外光谱

三、讨 论

1. 减光技术扩大光谱透过率范围。从图 2 和图 3 可见, 无论是用减光法还是纵标扩大法, 都可以放大小样品所产生的低透过率光谱, 而且除大气吸收区外, 两个光谱的表观图象

极为相似。但是它们的纵坐标范围不同。图 2 的纵坐标满刻度为 100% 透过率，图 3 满刻度只有 14% 透过率。可见减光法是扩大了光谱的表观透过率范围，相当于对光能通量放大，而纵标扩大法只是将坐标的标尺放大。

2. 减光技术提高光谱清晰度。为说明上述两种不同的放大作用和不同效果，我们对 $1800\sim1500\text{ cm}^{-1}$ 范围内的光谱情况作进一步实验，现分别截取图 2 及图 3 中 $2200\sim1200\text{ cm}^{-1}$ 范围内的光谱，并使之沿横坐标扩大，所测结果见图 4 及图 5。图 5 纵标扩大法说明，未完全抵消的大气水气吸收叠加在样品光谱上，使这段光谱显得模糊了；而减光法所测得的图 4 光谱中则无此现象。

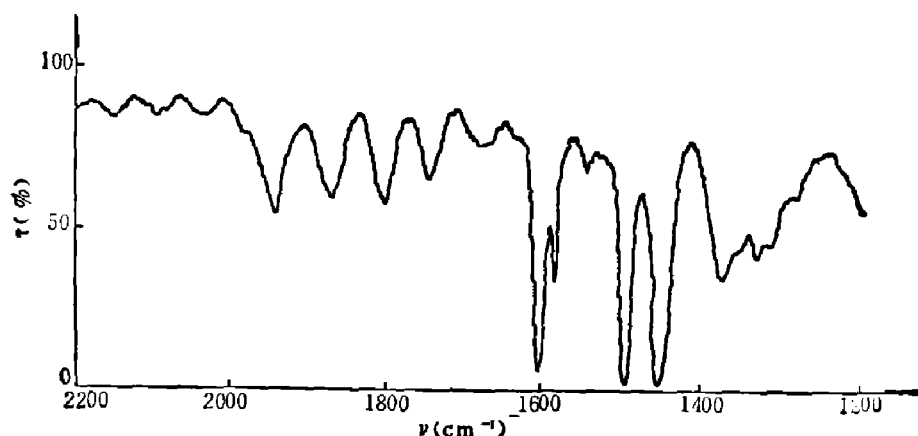


图 4 经横坐标扩大后部份图 2 的光谱

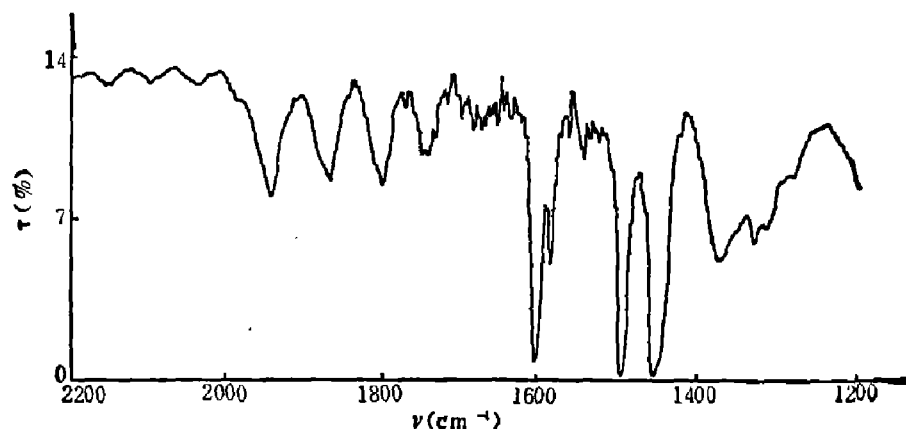


图 5 经横坐标扩大后部份图 3 的光谱

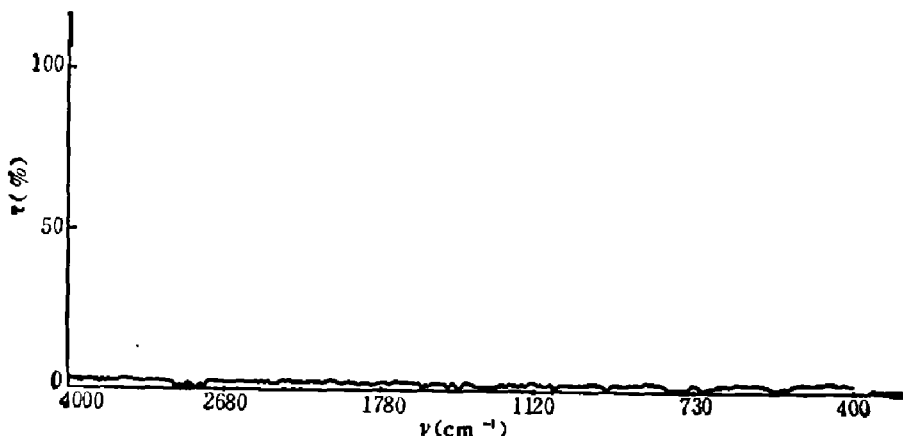


图 6 $1.5 \times 1 \text{ mm}^2$ 聚苯乙烯薄膜的 FT-IR 光谱

3. 大气吸收影响问题。由于面积越小,光能通量越低,信噪比越差,因而样品面积越小,大气吸收影响越突出。图6是面积为 $1.5 \times 1 \text{ mm}^2$ 的聚苯乙烯薄膜的光谱,基线透过率只有2%。我们分别采用减光法及纵标扩大法进行实验,所测得的光谱见图7和图8。结果表明,在消除大气影响的效果上,图7减光法仍表现出明显的优越性。在 $1800\sim1500\text{ cm}^{-1}$ 水汽吸收区,它的光谱轮廓要清楚得多。

实验表明,为消除或减少大气吸收的影响和纵标扩大的不良后果,在制样过程中还应设法提高光能通量,在条件许可时,加大样品的面积是有效方法之一。图9是一个有机磷化合物的低透过率光谱,样品为 $\phi 12\text{ mm}$ 的KBr压片,基线透过率为20%。分别采用减光法

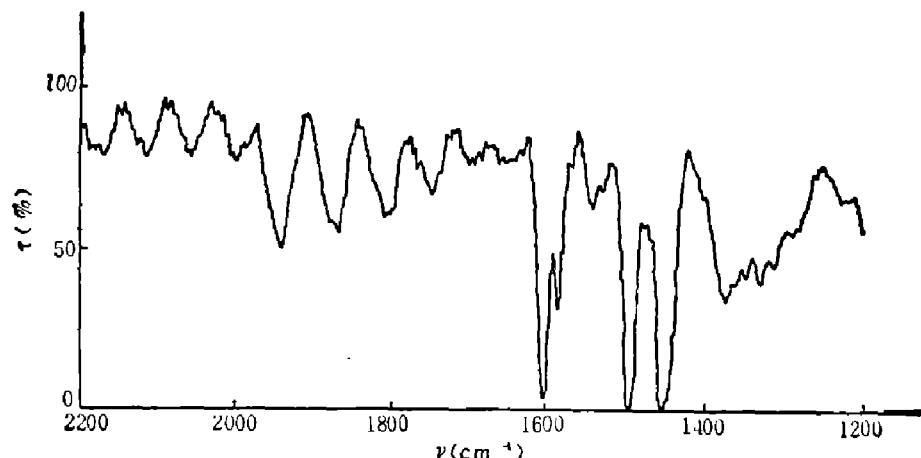


图7 经减光法改善后部分图6的光谱

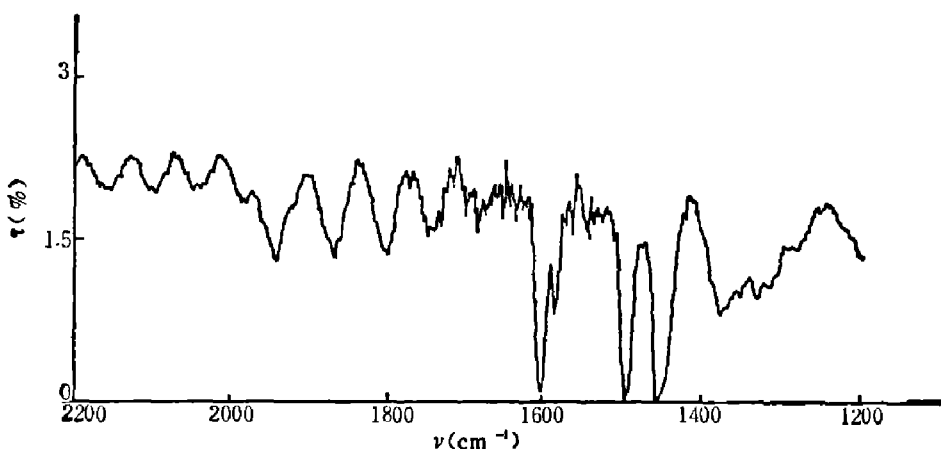


图8 经纵标扩大改善后部分图6的光谱

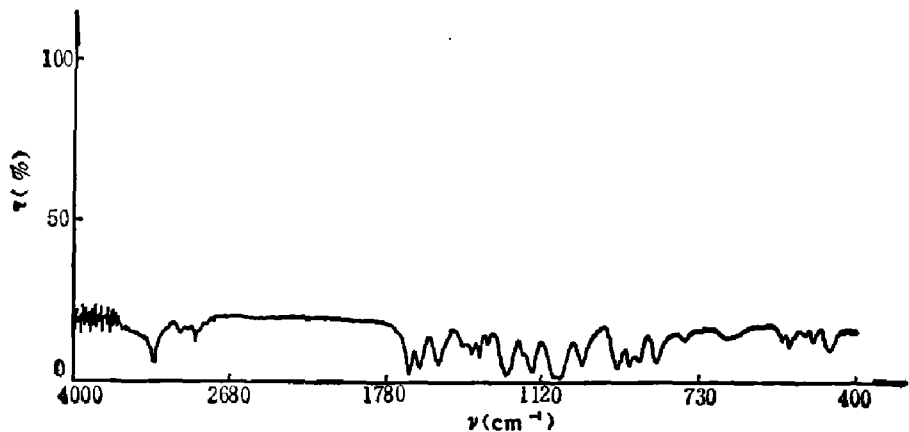


图9 有机磷低透光样品的FT-IR光谱

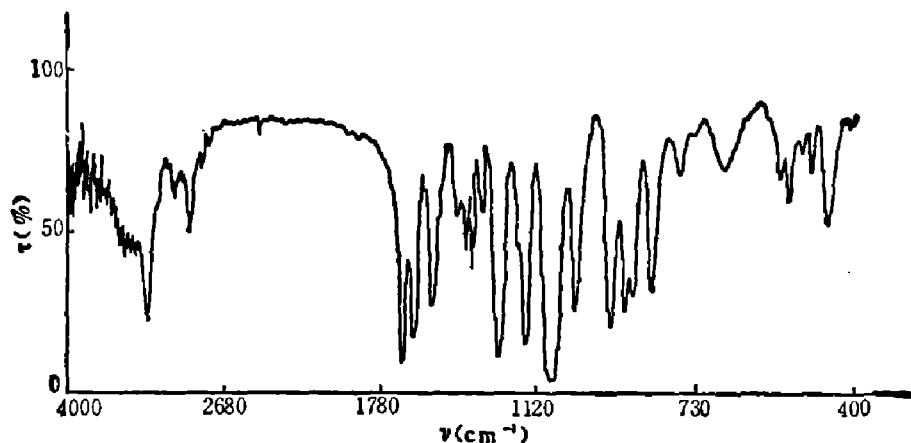


图 10 经减光法改善后图 9 的 FT-IR 光谱

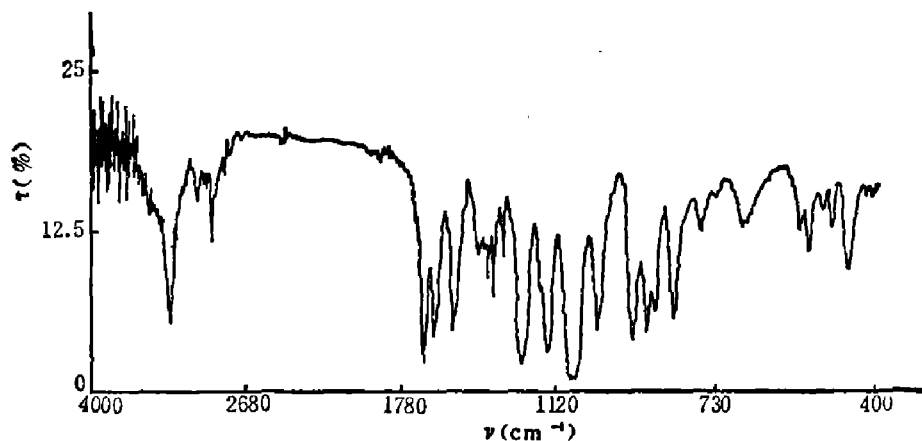


图 11 经纵标扩大改善后图 9 的 FT-IR 光谱

及纵标扩大法实验,结果见图 10 及图 11。由图 10 可见,大气吸收影响很小;由图 11 可见,大气吸收的影响虽然还有,但已不明显,减光法的优越性仍然可见。

参 考 文 献

- [1] 荆煦瑛等,红外研究, 4(1985), 3: 225
- [2] Corish P. J., *J. Appl. Polymers Sci.*, 4 (1960), 86.
- [3] Hort W. W., et al., *Appl. Spectrosc.*, 31 (1977).

APPLICATION OF INFRARED SPECTRAL ATTENUATION TECHNIQUES IN FT-IR SPECTROSCOPY

JING XUYING, ZHANG MINGJIE, OUYANG TIANMEI
(Institute of Elemental Organic Chemistry, Nankai University)

ABSTRACT

The results of using the IR attenuation technique for eliminating the influence of atmospheric absorptions in FT-IR spectroscopy are reported. The advantage of the method is shown by comparing the results with the usual ordinate expansion technique in determination of FT-IR spectra of optically dense materials.